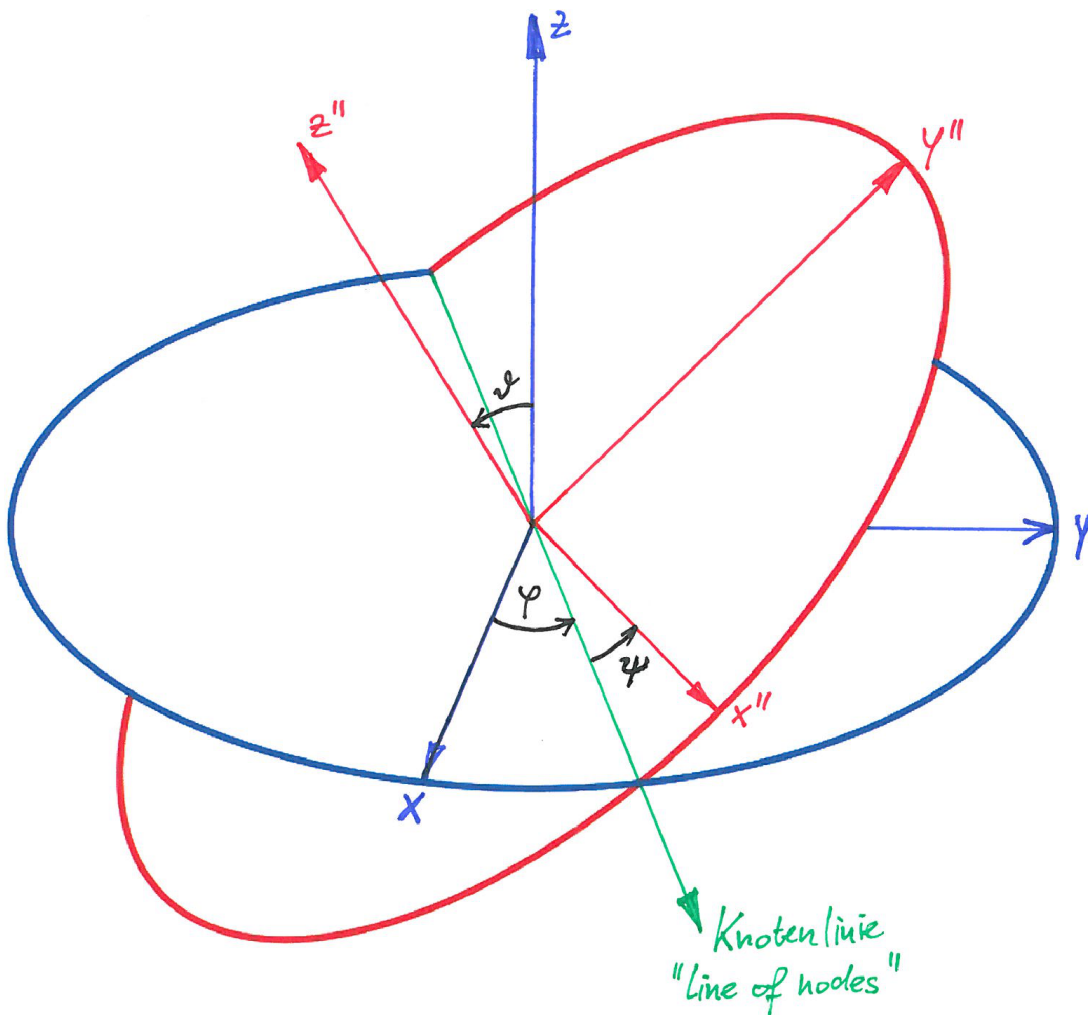


## 6.1.5 Die Eulerschen Winkel



- Transformation  $\mathcal{S} \leftrightarrow \Sigma''$  (raumfestes IS  $\leftrightarrow$  körperfestes Schwerpunkt- und Hauptachsensystem):

$$\begin{pmatrix} x \\ y \\ z \end{pmatrix} = \begin{pmatrix} s^x(t) \\ s^y(t) \\ s^z(t) \end{pmatrix} + \hat{O}^T \begin{pmatrix} x' \\ y' \\ z' \end{pmatrix} = \begin{pmatrix} s^x(t) \\ s^y(t) \\ s^z(t) \end{pmatrix} + \hat{O}^T \hat{U}^T \begin{pmatrix} x'' \\ y'' \\ z'' \end{pmatrix}$$

- Beschreibung der Transformationsmatrix  $\hat{V}(t) = \hat{U}\hat{O}(t)$  durch drei *Eulersche* Drehwinkel  $\varphi, \vartheta, \psi$ .
- Wir verwenden dabei die sogenannte „*x*-Konvention“:
  1. Drehung um die *z*-Achse des IS  $\mathcal{S}$  (Winkel  $\varphi$ )
  2. Drehung um die neue *x*-Achse – die *Knotenlinie* (Winkel  $\vartheta$ )
  3. Drehung um die aus den beiden vorherigen Drehungen resultierende neue *z*-Achse (Winkel  $\psi$ ).
- Es ist damit (siehe Abb., dort für den Fall  $\vec{s} = 0$ ):

$$\begin{pmatrix} x'' \\ y'' \\ z'' \end{pmatrix} = \hat{V}(t) \begin{pmatrix} x - s^x \\ y - s^y \\ z - s^z \end{pmatrix} \\ = \begin{pmatrix} \cos \psi & \sin \psi & 0 \\ -\sin \psi & \cos \psi & 0 \\ 0 & 0 & 1 \end{pmatrix} \begin{pmatrix} 1 & 0 & 0 \\ 0 & \cos \vartheta & \sin \vartheta \\ 0 & -\sin \vartheta & \cos \vartheta \end{pmatrix} \begin{pmatrix} \cos \varphi & \sin \varphi & 0 \\ -\sin \varphi & \cos \varphi & 0 \\ 0 & 0 & 1 \end{pmatrix} \begin{pmatrix} x - s^x \\ y - s^y \\ z - s^z \end{pmatrix},$$

$$\hat{V}(t) = \begin{pmatrix} -\sin \psi \cos \vartheta \sin \varphi + \cos \psi \cos \varphi & \sin \psi \cos \vartheta \cos \varphi + \cos \psi \sin \varphi & \sin \psi \sin \vartheta \\ -\cos \psi \cos \vartheta \sin \varphi - \sin \psi \cos \varphi & \cos \psi \cos \vartheta \cos \varphi - \sin \psi \sin \varphi & \cos \psi \sin \vartheta \\ \sin \vartheta \sin \varphi & -\sin \vartheta \cos \varphi & \cos \vartheta \end{pmatrix}$$

- Für die Komponenten der Winkelgeschwindigkeit folgt (siehe Kapitel 1.6):

$$\hat{V} \frac{d\hat{V}^T}{dt} = \hat{A} = \begin{pmatrix} 0 & -\omega^{z''} & \omega^{y''} \\ \omega^{z''} & 0 & -\omega^{x''} \\ -\omega^{y''} & \omega^{x''} & 0 \end{pmatrix},$$

mit obigem Ausdruck für  $\hat{V}$  also:

$$\begin{aligned} \omega^{x''} &= \dot{\varphi} \sin \vartheta \sin \psi + \dot{\vartheta} \cos \psi \\ \omega^{y''} &= \dot{\varphi} \sin \vartheta \cos \psi - \dot{\vartheta} \sin \psi \\ \omega^{z''} &= \dot{\varphi} \cos \vartheta + \dot{\psi}. \end{aligned}$$

### 6.1.6 Die Lagrangefunktion für den freien starren Körpers

- Benutzen wir die (zeitabhängigen) Eulerschen Winkel  $\varphi, \vartheta, \psi$ , um vom raumfesten IS  $\mathcal{S}$  in das körperfeste Schwerpunkt- und Hauptachsensystem  $\Sigma''$  zu wechseln, so ergibt sich die kinetische Energie zu:

$$\begin{aligned} T &= \frac{M}{2} \dot{\vec{s}}^2 + \frac{1}{2} \sum_{i'', k''=1}^3 \omega^{i''} \omega^{k''} \Theta_{k''}^{i''} \\ &= \frac{M}{2} [(\dot{s}^x)^2 + (\dot{s}^y)^2 + (\dot{s}^z)^2] + \frac{A}{2} (\dot{\varphi} \sin \vartheta \sin \psi + \dot{\vartheta} \cos \psi)^2 \\ &\quad + \frac{B}{2} (\dot{\varphi} \sin \vartheta \cos \psi - \dot{\vartheta} \sin \psi)^2 + \frac{C}{2} (\dot{\varphi} \cos \vartheta + \dot{\psi})^2. \end{aligned}$$

- Befindet sich der Körper in einem äußeren Potential  $U$ , das wegen

$$\begin{pmatrix} x \\ y \\ z \end{pmatrix} = \begin{pmatrix} s^x \\ s^y \\ s^z \end{pmatrix} + \hat{V}^T(t) \begin{pmatrix} x'' \\ y'' \\ z'' \end{pmatrix}$$

effektiv eine Funktion der Schwerpunktskoordinaten  $s^i$  und der Eulerwinkel  $\varphi, \vartheta, \psi$  ist,  $U = U(s^x, s^y, s^z, \varphi, \vartheta, \psi)$ , ergibt sich damit die Lagrangefunktion als:

$$L = L(s^x, s^y, s^z, \varphi, \vartheta, \psi, \dot{s}^x, \dot{s}^y, \dot{s}^z, \dot{\varphi}, \dot{\vartheta}, \dot{\psi}) = T - U$$

- Aus der Lagrangefunktion  $L$  können mittels Lagrange-II-Formalismus die Bewegungsgleichungen ermittelt werden.
- Beispiel: Bewegung im homogenen Erdschwerefeld,  $\vec{F}^{(a)} = -\mu g \vec{b}_z$ ,

$$U = \int_K \mu g z \, d^3 \vec{r}'' = g \int_K \mu \left( s^z + \sum_{i''=1}^3 [\hat{V}^T]_{i''}^3 x^{i''} \right) d^3 \vec{r}'' = M g s^z$$

1.  $s^x$  und  $s^y$  sind zyklische Koordinaten; es folgen die Erhaltungssätze:

$$M \dot{s}^x = p^x, \quad M \dot{s}^y = p^y.$$

2.  $z$ -Komponente des Schwerpunktes:

$$M \ddot{s}^z = -M g$$

Also folgt:

$$\vec{s}(t) = \vec{s}_0 + \dot{\vec{s}}_0 t - \frac{g}{2} t^2 \vec{b}_z$$

3. Die Gleichungen für die Eulerschen Winkel separieren von denjenigen für die Schwerpunktskoordinaten. Es ergeben sich die gleichen Gleichungen wie für den kräftefreien Kreisel (siehe Kapitel 6.2).

## 6.2 Der Kreisel

- Ein Kreisel ist ein starrer Körper, der an einem *Unterstützungspunkt*  $P$  (nicht notwendigerweise der Schwerpunkt) festgehalten wird und sich um diesen Punkt völlig frei drehen kann.
- Wir legen nun die Koordinatenursprünge von Inertialsystem  $\mathcal{S}$  sowie mitrotierenden körperfesten Hauptachsensystem  $\Sigma''$  in den Punkt  $P$ .
- Damit ist hier  $\Sigma''$  i.A. *kein* Schwerpunktsystem.
- Seine Achsen weisen aber nach wie vor in Richtung der Hauptträgheitsmomente, d.h. der Trägheitstensor bezüglich  $P$  hat in  $\Sigma''$  eine diagonale Koeffizientenmatrix,  $\Theta_{k''}^{i''}(P) = \text{diag}(A, B, C)$ .
- Die Transformation  $\Sigma'' \leftrightarrow \mathcal{S}$  schreibt sich nun:

$$\begin{pmatrix} x'' \\ y'' \\ z'' \end{pmatrix} = \hat{V}(t) \begin{pmatrix} x \\ y \\ z \end{pmatrix}$$

mit der *Eulerschen* Transformationsmatrix  $\hat{V}(t)$  (siehe Kapitel 6.1.5),

$$\hat{V}(t) = \begin{pmatrix} -\sin \psi \cos \vartheta \sin \varphi + \cos \psi \cos \varphi & \sin \psi \cos \vartheta \cos \varphi + \cos \psi \sin \varphi & \sin \psi \sin \vartheta \\ -\cos \psi \cos \vartheta \sin \varphi - \sin \psi \cos \varphi & \cos \psi \cos \vartheta \cos \varphi - \sin \psi \sin \varphi & \cos \psi \sin \vartheta \\ \sin \vartheta \sin \varphi & -\sin \vartheta \cos \varphi & \cos \vartheta \end{pmatrix}$$

- Die Schritte zur Berechnung der kinetischen Energie  $T$  sowie des Drehimpulses  $\vec{L}$  sind die gleichen wie in Kapitel 6.1.2 bzw. 6.1.4, und

es ergibt sich:

$$\begin{aligned} T &= \frac{1}{2} \sum_{i'', k''=1}^3 \omega^{i''} \omega^{k''} \Theta_{k''}^{i''} = \frac{A}{2} (\omega^{x''})^2 + \frac{B}{2} (\omega^{y''})^2 + \frac{C}{2} (\omega^{z''})^2 \\ &= \frac{A}{2} (\dot{\varphi} \sin \vartheta \sin \psi + \dot{\vartheta} \cos \psi)^2 + \frac{B}{2} (\dot{\varphi} \sin \vartheta \cos \psi - \dot{\vartheta} \sin \psi)^2 \\ &\quad + \frac{C}{2} (\dot{\varphi} \cos \vartheta + \dot{\psi})^2 \end{aligned}$$

$$L^{x''} = A\omega^{x''} = A(\dot{\varphi} \sin \vartheta \sin \psi + \dot{\vartheta} \cos \psi)$$

$$L^{y''} = B\omega^{y''} = B(\dot{\varphi} \sin \vartheta \cos \psi - \dot{\vartheta} \sin \psi)$$

$$L^{z''} = C\omega^{z''} = C(\dot{\varphi} \cos \vartheta + \dot{\psi})$$

- Befindet sich der Körper in einem äußeren Potential  $U$ , ergibt sich wegen

$$\begin{pmatrix} x \\ y \\ z \end{pmatrix} = \hat{V}^T(t) \begin{pmatrix} x'' \\ y'' \\ z'' \end{pmatrix}$$

effektiv eine Funktion der Eulerwinkel  $\varphi, \vartheta, \psi$ ,

$$U = U(\varphi, \vartheta, \psi).$$

- Im symmetrischen Fall  $A = B$  ist  $T$  von  $\varphi$  und  $\psi$  unabhängig:

$$T = \frac{A}{2} (\dot{\varphi}^2 \sin^2 \vartheta + \dot{\vartheta}^2) + \frac{C}{2} (\dot{\varphi} \cos \vartheta + \dot{\psi})^2$$

### 6.2.1 Der kräftefreie symmetrische Kreisel

- Symmetrischer Kreisel:  $A = B$ , d.h.  $\Theta_{k''}^{i''}(P) = \text{diag}(A, A, C)$ .
- Kräftefrei: Potential  $U \equiv 0$ ; äußere Kraftdichte  $\vec{f}^{(a)} \equiv 0$ ;  
es gilt Drehimpulserhaltung,  $\vec{L} \stackrel{\leftrightarrow}{=} \vec{\Theta} \vec{\omega} = \text{const.}$
- Lösung des Bewegungsproblems über *Drehimpulserhaltung*:

1. Ohne Beschränkung der Allgemeinheit legen wir die  $z$ -Achse des raumfesten Inertialsystems  $\mathcal{S}$  in Richtung des Drehimpulses,

$$\vec{L} = L \vec{b}_z, \quad L^i = \delta_3^i L, \quad L = \text{const.}$$

2. Für die Komponenten in  $\Sigma''$  folgt:

$$L^{i''} = \sum_{i=1}^3 \frac{\partial x^{i''}}{\partial x^i} L^i = \sum_{i=1}^3 [\hat{V}(t)]_i^{i''} L \delta_3^i = L [\hat{V}(t)]_3^{i''},$$

$$L^{x''} = A \omega^{x''} = A(\dot{\varphi} \sin \vartheta \sin \psi + \dot{\vartheta} \cos \psi) = L \sin \psi \sin \vartheta \quad (6.4)$$

$$L^{y''} = A \omega^{y''} = A(\dot{\varphi} \sin \vartheta \cos \psi - \dot{\vartheta} \sin \psi) = L \cos \psi \sin \vartheta \quad (6.5)$$

$$L^{z''} = C \omega^{z''} = C(\dot{\varphi} \cos \vartheta + \dot{\psi}) = L \cos \vartheta \quad (6.6)$$

3. {Gleichung (6.4)  $\cdot \cos \psi$  – Gleichung (6.5)  $\cdot \sin \psi$ } ergibt:

$$A \dot{\vartheta} = 0, \quad \vartheta = \vartheta_0 = \text{const.} \quad (6.7)$$

Damit ist  $\omega^{z''} = \frac{L}{C} \cos \vartheta_0 = \text{const.}$

4. Mit  $\dot{\vartheta} = 0$  folgt aus (6.4) und (6.5):

$$\dot{\varphi} = \frac{L}{A}, \quad \varphi(t) = \frac{L}{A} t + \varphi_0 \quad (6.8)$$

5. Aus (6.6), (6.7) und (6.8) schließlich:

$$C \dot{\psi} = (L - C \dot{\varphi}) \cos \vartheta_0, \quad \psi = \left( L \frac{A - C}{AC} \cos \vartheta_0 \right) t + \psi_0 \quad (6.9)$$

6. Zusammenstellung:

$$\begin{aligned} \vartheta &= \vartheta_0 = \text{const.}, \\ \varphi(t) &= \frac{L}{A} t + \varphi_0, \\ \psi(t) &= \left( L \frac{A - C}{AC} \cos \vartheta_0 \right) t + \psi_0, \end{aligned}$$

$$\begin{aligned} L^{x''}(t) &= L \sin \psi(t) \sin \vartheta_0, & \omega^{x''}(t) &= \frac{L}{A} \sin \psi(t) \sin \vartheta_0 \\ L^{y''}(t) &= L \cos \psi(t) \sin \vartheta_0, & \omega^{y''}(t) &= \frac{L}{A} \cos \psi(t) \sin \vartheta_0 \\ L^{z''}(t) &= L \cos \vartheta_0, & \omega^{z''}(t) &= \frac{L}{C} \cos \vartheta_0 \end{aligned} \quad (6.10)$$

Komponenten im raumfesten System  $\mathcal{S}$ :

(a)  $\vec{L} = L\vec{b}_z = \text{const.}$

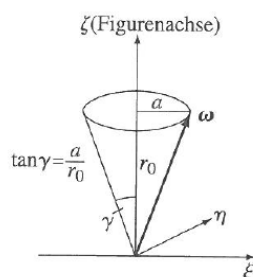
(b) Aus (6.10) sehen wir:  $\vec{\omega} = \frac{1}{A}\vec{L} + L\frac{A-C}{AC} \cos \vartheta_0 \vec{b}_{z''}$ , also:

$$\begin{aligned}\omega^i &= \frac{L}{A}\delta_3^i + L\frac{A-C}{AC} \cos \vartheta_0 (\vec{b}_{z''})^i \\ &= \frac{L}{A}\delta_3^i + L\frac{A-C}{AC} \cos \vartheta_0 \frac{\partial x^i}{\partial x^{z''}} \\ &= \frac{L}{A}\delta_3^i + L\frac{A-C}{AC} \cos \vartheta_0 [\hat{V}^T]_{3''}^i,\end{aligned}$$

Es folgt:

$$\begin{aligned}L^x(t) &= 0, & \omega^x(t) &= L\frac{A-C}{AC} \cos \vartheta_0 \sin \vartheta_0 \sin \varphi(t) \\ L^y(t) &= 0, & \omega^y(t) &= -L\frac{A-C}{AC} \cos \vartheta_0 \sin \vartheta_0 \cos \varphi(t) \\ L^z(t) &= L, & \omega^{z''}(t) &= \frac{L}{C} \cos^2 \vartheta_0 + \frac{L}{A} \sin^2 \vartheta_0\end{aligned}\quad (6.11)$$

• Diskussion:

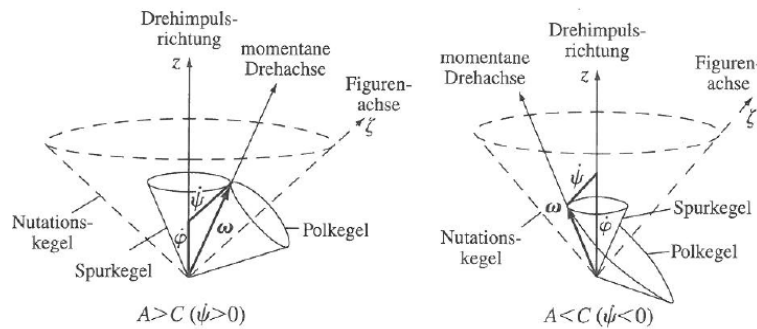


Polkegel im körperfesten System,

$$(\xi, \eta, \zeta) = (x'', y'', z''), \quad r_0 = L/C \cos \vartheta_0 = \omega^{z''}, \quad a = L/A \sin \vartheta_0$$

1. Die Figurenachse (Hauptträgheitsachse mit Trägheitsmoment  $C$ , d.h. die  $z''$ -Achse in  $\Sigma''$ ) bewegt sich auf einem Kreiskegel der Öffnung  $\vartheta_0$  um die  $z$ -Achse, d.h. um die Richtung des Drehimpulses; diesen Kegel nennt man *Nutationskegel* (halber Öffnungswinkel:  $\vartheta_0$ ). Die Winkelgeschwindigkeit dieser Drehung ist  $d\varphi/dt = L/A$ .
2. Dabei dreht sich der Körper (die körperfesten  $x'', y''$ -Achsen) um die Figurenachse mit der Winkelgeschwindigkeit  $d\psi/dt = L(A-C) \cos \vartheta_0/(AC)$ .

3. Innerhalb von  $\Sigma''$  wandert  $\vec{\omega}$  auf dem körperfesten *Polkegel* (halber Öffnungswinkel:  $\gamma$ ,  $\tan \gamma = \frac{C}{A} \tan \vartheta_0$ ) um die Figurenachse, Winkelgeschwindigkeit:  $-\mathrm{d}\psi/\mathrm{d}t$ .
4. Innerhalb von  $\mathcal{S}$  wandert  $\vec{\omega}$  auf dem *Spurkegel* (halber Öffnungswinkel:  $|\varepsilon| = |\vartheta_0 - \gamma|$ ) um die  $z$ -Achse (raumfeste Richtung von  $\vec{L}$ , Winkelgeschwindigkeit  $\dot{\varphi}$ ).
5. Der Polkegel rollt mit seiner Außenfläche (für  $A > C, \dot{\psi} > 0$ ) bzw. Innenfläche (für  $A < C, \dot{\psi} < 0$ ) auf dem Spurkegel ab; Winkelgeschwindigkeit  $\dot{\psi}$ .
6. Der Polkegel führt dabei die Figurenachse (d.h. seine Symmetrieachse) auf dem Nutationskegel.



### 6.2.2 Der schwere symmetrische Kreisel

- Betrachten einen symmetrischen Kreisel ( $B = A$  bezüglich des Unterstützungspunktes), dessen Schwerpunkt auf der Figurenachse liegt, d.h., es gilt:

$$\int_K \mu x'' \, \mathrm{d}^3 \vec{r}'' = 0, \quad \int_K \mu y'' \, \mathrm{d}^3 \vec{r}'' = 0.$$

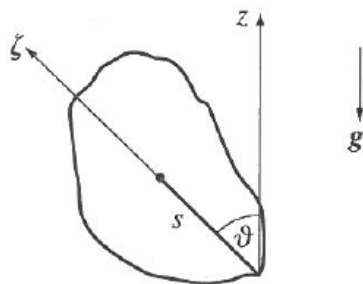
- Wir schreiben

$$s = s^{z''} = \int_K \mu z'' \, \mathrm{d}^3 \vec{r}'$$



- Wir legen die raumfeste  $z$ -Achse nach oben. Dann ergibt sich folgende potentielle Energie:

$$\begin{aligned} U &= \int_K \mu g z \, d^3 \vec{r}'' \\ &= g \int_K \mu (x'' \sin \psi \sin \vartheta + y'' \cos \psi \sin \vartheta + z'' \cos \vartheta) \, d^3 \vec{r}'' \\ &= M g s \cos \vartheta \end{aligned}$$



- Es folgt:

$$L = T - U = \frac{A}{2}(\dot{\varphi}^2 \sin^2 \vartheta + \dot{\vartheta}^2) + \frac{C}{2}(\dot{\varphi} \cos \vartheta + \dot{\psi})^2 - M g s \cos \vartheta$$

- Zyklische Koordinaten:  $\psi$  und  $\varphi$ , und somit gelten die Erhaltungssätze:

$$\frac{\partial L}{\partial \dot{\varphi}} = A \dot{\varphi} \sin^2 \vartheta + C(\dot{\psi} + \dot{\varphi} \cos \vartheta) \cos \vartheta = \alpha = \text{const.} \quad (6.12)$$

$$\frac{\partial L}{\partial \dot{\psi}} = C(\dot{\varphi} \cos \vartheta + \dot{\psi}) = \beta = \text{const.} \quad (6.13)$$

- Ferner gilt wegen  $\frac{\partial L}{\partial t} = 0$  Energieerhaltung,  $E = T + U$ .
- Wir eliminieren mittels (6.12, 6.13)  $\dot{\varphi}$  und  $\dot{\psi}$  im Energiesatz und gelangen mit der Substitution  $u = \cos \vartheta$  zu

$$\frac{A}{2} \dot{u}^2 + P(u) = 0$$

mit

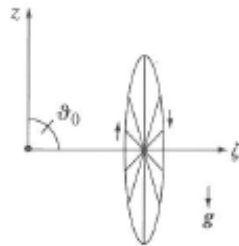
$$P(u) = \frac{(\alpha - \beta u)^2}{2A} + \left( \frac{\beta^2}{2C} - E \right) (1 - u^2) + Mgsu(1 - u^2)$$

- Lösung wie im eindimensionalen Fall durch Separation der Variablen liefert:

$$t = \int \frac{du}{\sqrt{-\frac{2}{A}P(u)}}$$

Elliptisches Integral (hier nicht weiter untersucht).

### 6.2.3 Der schnell rotierende schwere symmetrische Kreisel



- Betrachten schweren symmetrischen Kreisel mit speziellen Anfangsbedingungen:

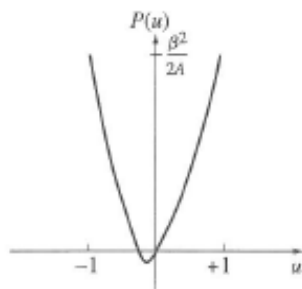
$$\begin{aligned} \vartheta(0) &= \frac{\pi}{2}, & \varphi(0) &= 0, & \psi(0) &= 0 \\ \dot{\vartheta}(0) &= 0, & \dot{\varphi}(0) &= 0, & \dot{\psi}(0) &= \dot{\psi}_0 \end{aligned}$$

- $\dot{\psi}_0$  sei groß, genauer:  $q := \frac{2MgsA}{C^2\dot{\psi}_0^2} \ll 1$ .

- Aus Anfangsbedingungen folgt:

$$\alpha = 0, \quad \beta = C\dot{\psi}_0, \quad E = \frac{C}{2}\dot{\psi}_0^2 = \frac{\beta^2}{2C},$$

$$P(u) = \frac{\beta^2}{2A}u^2 + Mgsu(1 - u^2) = Mgs \left[ \frac{u^2}{q} + u(1 - u^2) \right]$$



- Damit hat  $P(u)$  die Nullstellen

$$u_0^* = 0, \quad u_-^* = \frac{1 - \sqrt{4q^2 + 1}}{2q} \approx -q, \quad u_+^* = \frac{1 + \sqrt{4q^2 + 1}}{2q} \gg 1$$

mit  $P(u) > 0$  für  $u < u_-^*$  bzw.  $u \in (0, 1]$  (beachte:  $|u| = |\cos \vartheta| \leq 1$ ).

- Die Bewegung gemäß

$$\frac{A}{2} \dot{u}^2 + P(u) = 0$$

findet im kleinen Intervall  $u \in [u_-^*, 0]$  statt, wo  $P(u) \leq 0$  ist.

- Sie kann in einer Näherung berechnet werden:

$$0 = A\ddot{u} + P'(u) = \ddot{u} \left( A + Mgs \left[ \frac{2u}{q} + 1 - 3u^2 \right] \right) \approx \ddot{u} \left( A + Mgs \left[ \frac{2u}{q} + 1 \right] \right)$$

Die Gleichung

$$A\ddot{u} + Mgs \left[ \frac{2u}{q} + 1 \right] = 0$$

hat für  $u(0) = \dot{u}(0) = 0$  die Lösung:

$$u = \cos \vartheta = -\frac{q}{2} \left[ 1 - \cos \left( t \sqrt{\frac{2Mgs}{Aq}} \right) \right]$$

Die Kreiselachse bewegt sich nur geringfügig nach unten ( $q$  klein), schwingt aber mit sehr hoher Frequenz vertikal zwischen  $\vartheta = \frac{\pi}{2}$  ( $u = 0$ ) und  $\vartheta \approx \frac{\pi}{2} + q$  ( $u = -q$ ) hin und her.

- Aus den Erhaltungssätzen (6.12, 6.13) folgt mit  $\sin \vartheta \approx 1$ :

$$0 = A\dot{\varphi} + \beta \cos \vartheta = A\dot{\varphi} + \beta u, \quad C(\dot{\psi} + \dot{\varphi} \cos \vartheta) = \beta,$$

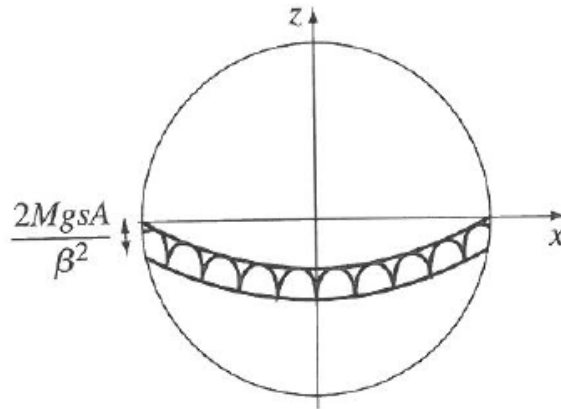
also:

$$\dot{\varphi} = -\frac{\beta}{A}u = \sqrt{\frac{Mgsq}{2A}} \left(1 - \cos \frac{\beta}{A}t\right),$$

und schließlich mit  $\varphi(0) = 0$ :

$$\varphi(t) = t \sqrt{\frac{Mgsq}{2A}} - \frac{q}{2} \sin \left( t \sqrt{\frac{2Mgs}{Aq}} \right)$$

Die Figurenachse des Kreisels bewegt sich mit kleiner mittlerer Winkelgeschwindigkeit  $\sqrt{\frac{Mgsq}{2A}}$  in der Ebene des raumfesten Systems  $\mathcal{S}$ . Diese Bewegung wird „Präzession“ genannt.



Bahnkurve der Spitze der Figurenachse:  
Zykloide in einer  $(\vartheta, \varphi)$ -Ebene.

- Schließlich ist

$$\dot{\psi} = \frac{\beta}{C} - \dot{\varphi} \cos \vartheta \approx \frac{\beta}{C} \left(1 + \frac{C}{A}u^2\right) \approx \frac{\beta}{C} = \dot{\psi}_0$$

In erster Ordnung bezüglich  $q$  dreht sich der Kreisel mit konstanter Winkelgeschwindigkeit  $\dot{\psi}_0$  um seine Figurenachse.